



Laboratorium Badań Środowiskowych
ul. Józefa Piusa Dziekońskiego 3
00-728 Warszawa
e-mail: Laboratorium@networks.pl



AB 419

S P R A W O Z D A N I E 7134/2021/OS
Z POMIARÓW PÓL ELEKTROMAGNETYCZNYCH
WYKONANYCH DLA POTRZEB OCHRONY ŚRODOWISKA

Badany obiekt: Instalacja radiokomunikacyjna T-Mobile Polska S.A.
Numer i nazwa: 49200 (69200N!) PJE_JELENIAGO_PADEREWSKIEGO
Adres: JELENIA GÓRA, ALEJA JANA PAWŁA II 33 DZ.36/8, Powiat m. Jelenia Góra, WOJ.
DOLNOŚLĄSKIE

Data wykonania pomiarów: 2021-11-02

Sprawozdanie z badań bez pisemnej zgody laboratorium nie może być powielane inaczej niż w całości.
Wynik przedstawione w niniejszym sprawozdaniu odnoszą się wyłącznie do badanego obiektu i do warunków i konfiguracji urządzeń w dniu wykonywania pomiarów.

1. Właściciel badanego obiektu:

T-Mobile Polska S.A., ul. Marynarska 12, 02-674 Warszawa

2. Zleceniodawca:

T-Mobile Polska S.A., ul. Marynarska 12, 02-674 Warszawa

3. Przedstawiciel zleceniodawcy:

NetWorkS! Sp.z o.o.

4. Zakres zlecenia:

Wykonanie badania i opracowanie sprawozdania z pomiarów natężenia pola elektrycznego i pola magnetycznego dla instalacji radiokomunikacyjnej T-Mobile Polska S.A. zlokalizowanej w miejscowości JELENIA GÓRA, ALEJA JANA PAWŁA II 33 DZ.36/8.

5. Cel zlecenia:

Wykonanie pomiarów pól elektromagnetycznych w otoczeniu instalacji radiokomunikacyjnej 49200 (69200N!) PJE_JELENIAGO_PADEREWSKIEGO w odniesieniu do wymagań określonych w *Rozporządzeniu Ministra Klimatu z dnia 17 lutego 2020 r. w sprawie sposobów sprawdzania dotrzymania dopuszczalnych poziomów pól elektromagnetycznych w środowisku (Dz. U. 2020, poz. 258)*.

6. Pomiary zostały wykonane przez:

Semrau Piotr
Pawlak Ariel

7. Informacje o źródłach pól elektromagnetycznych

7.1. Sposób identyfikacji badanych źródeł pól elektromagnetycznych

Identyfikacji źródeł i parametrów technicznych dokonano na podstawie analizy dokumentacji dotyczącej zlecenia oraz obserwacji miejsca wykonywania badań.

7.2. Opis miejsca zainstalowania anten i urządzeń technicznych. Opis obiektu badań i jego otoczenia

Instalacja radiokomunikacyjna zlokalizowana jest na terenie ogrodzonym. Anteny zawieszono na wieży strunobetonowej. Urządzenia sterujące oraz zasilające zainstalowano w kontenerze u podstawy wieży. Wokół instalacji znajduje się miasto.

Instalacja radiokomunikacyjna jest obiektem bezobsługowym. Okresowe stanowiska pracy związane są z prowadzonymi w zależności od potrzeb konserwacjami, przeglądami, strojeniem i naprawami.

7.3. Parametry techniczne źródła pola elektromagnetycznego

Dane przedstawiające maksymalne parametry pracy instalacji przekazane przez zleceniodawcę:

Parametry systemu nadawczo-odbiorczego:

Charakterystyka promieniowania		kierunkowa					
Rzeczywisty czas pracy [h/dobę]		24					
Warunki pracy		znamionowe					
Rodzaj wytwarzanego pola		stacjonarne					
Lp.	Częstotliwość lub zakresy częstotliwości pracy [MHz]	Typ/producent anteny	liczba anten	Azymut [°]	kąt pochylenia* [°]	Wysokość środka elektrycznego anteny [m n.p.t]	Równoważna moc promieniowana izotropowo (EIRP) [W]
1	900/1800/2100	ATR4518R11v06 Huawei	1	0	5/5/5	45.3	14432
2	800/2600	ATR4518R11v06 Huawei	1	0	5/3	45.3	8509
3	900/1800/2100	ATR4518R11v06 Huawei	1	120	5/5/5	45.3	14432
4	800/2600	ATR4518R11v06 Huawei	1	120	5/7	45.3	8509
5	900/1800/2100	ATR4518R11v06 Huawei	1	250	6/6/6	45.3	14432
6	800/2600	ATR4518R11v06 Huawei	1	250	6/6	45.3	8509

* wskazane wartości kąta pochylenia anten, zgodnie z informacją uzyskaną od zleceniodawcy, są wartościami stałymi

Parametry radiolinii:

Charakterystyka promieniowania				kierunkowa			
Rzeczywisty czas pracy [h/dobę]				24			
Warunki pracy				znamionowe			
Rodzaj wytwarzanego pola				stacjonarne			
Lp.	Linia radiowa			Antena			
	Typ/ Producent	Częstotliwość pracy [GHz]	Równoważna moc promieniowana izotropowo (EIRP) [W]	Typ/ producent	Średnica anteny [m]	Azymut [°]	Wysokość zainstalowania n.p.t [m]
1.	NEC iPasolink 200 Harris Stratex	38	15	VHLP1-38 Andrew	0.3	58	60
2.	NP ECLIPSE 300hp 38GHz 28MHz Harris Stratex	38	576	VHLP1-38 Andrew	0.3	60	55
3.	NP ERICSSON ML 6352 R2+ 70/80GHz 250MHz Ericsson	80	5624	UKY 230 42/14H Ericsson	0.6	74	58
4.	NEC iPasolink 200 Harris Stratex	38	4	VHLP1-38 Andrew	0.3	83	60
5.	NP ECLIPSE 600 18GHz 28MHz Harris Stratex	18	2952	VHLP4-18 Andrew	1.2	189	55.5
6.	NEC iPasolink 200 Harris Stratex	38	4	VHLP1-38 Andrew	0.3	216	60

Sprawozdanie z badań bez pisemnej zgody laboratorium nie może być powielane inaczej niż w całości.
Wynik przedstawione w niniejszym sprawozdaniu odnoszą się wyłącznie do badanego obiektu i do warunków i konfiguracji urządzeń w dniu wykonywania pomiarów.

7.4 Inne źródła pól elektromagnetycznych

Na podstawie informacji otrzymanych od użytkownika oraz obserwacji otoczenia miejsca wykonywania pomiarów oraz nie stwierdzono występowania innych źródeł pola-EM

8. Opis pomiarów

8.1. Metoda badań

Zgodna z rozporządzeniem Ministra Klimatu z dnia 17 lutego 2020 r. w sprawie sposobów sprawdzania dotrzymania dopuszczalnych poziomów pól elektromagnetycznych w środowisku (Dz. U. 2020, poz. 258), określona w pkt 25 ppkt 1 załącznika do niniejszego rozporządzenia.

Zgodnie z art. 122a ust. 1b ustawy Prawo Ochrony Środowiska, w przypadku wprowadzenia na części albo całym terytorium Rzeczypospolitej Polskiej stanu nadzwyczajnego, o którym mowa w art. 228 ust. 1 Konstytucji Rzeczypospolitej Polskiej z dnia 2 kwietnia 1997 r. (Dz. U. poz. 483, z 2001 r. poz. 319, z 2006 r. poz. 1471 oraz z 2009 r. poz. 946), lub stanu zagrożenia epidemicznego lub stanu epidemii, o których mowa w art. 46 ustawy z dnia 5 grudnia 2008 r. o zapobieganiu oraz zwalczaniu zakażeń i chorób zakaźnych u ludzi (Dz. U. z 2019 r. poz. 1239, z późn. zm.8)), pomiarów , nie przeprowadza się w lokalach mieszkalnych oraz w lokalach użytkowych zlokalizowanych na terytorium objętym stanem nadzwyczajnym, stanem zagrożenia epidemicznego lub stanem epidemii.

W związku z obecnie obowiązującym stanem epidemii, pomiarów nie wykonano w lokalach mieszkalnych oraz w lokalach użytkowych zlokalizowanych w obszarze pomiarowym przedmiotowej instalacji radiokomunikacyjnej.

8.2. Termin pomiarów i warunki środowiskowe

Podczas wykonywania pomiarów pól elektromagnetycznych nie występowały opady atmosferyczne. Wyniki pomiaru parametrów pogodowych przedstawia poniższa tabela:

Data [rrrr-mm-dd]	Godzina [hh:mm-hh:mm]	Warunki środowiskowe			
		Temperatura [°C]		Wilgotność względna [%]	
2021-11-02	07:50-09:10	Przed pomiarem	Po pomiarach	Przed pomiarem	Po pomiarach
		10.4	10.8	68.7	67.9

Przedstawione wyżej warunki środowiskowe, występujące podczas wykonywania pomiarów pól elektromagnetycznych, są zgodne ze specyfikacją techniczną użytego zestawu pomiarowego.

8.3. Warunki pracy urządzeń nadawczych

Podczas pomiarów zostały uwzględnione poprawki pomiarowe przekazane przez zleceniodawcę, umożliwiające uwzględnienie maksymalnych parametrów pracy instalacji zgodnie z pkt 7 załącznika do Rozporządzeniem Ministra Klimatu z dnia 17 lutego 2020 r. w sprawie sposobów sprawdzania dotrzymania dopuszczalnych poziomów pól elektromagnetycznych w środowisku (Dz. U. 2020, poz. 258).

8.4. Wyposażenie pomiarowe

Zestaw pomiarowy służący do pomiaru natężenia składowej elektrycznej pola elektromagnetycznego złożony z szerokopasmowego miernika i sondy pomiarowej:

Oznaczenie miernika	Producent	Model	Numer fabryczny	Oznaczenie sondy	Producent	Model	Numer fabryczny
M-03Z	Narda Safety Test Solution	Miernik pól elektromagnetycznych NBM-550	G-0622	S-31	Narda Safety Test Solution	Sonda EF-6092	C-0193

Mierniki natężenia pola elektromagnetycznego podlegają okresowemu sprawdzeniu zgodnie z procedurą wewnętrzną P-03 i PB-01. Świadectwo wzorcowania zestawu pomiarowego z dnia 2 marca 2021 o numerze LWiMP/W/059/21 wydane przez Politechnika Wrocławską.

Data ważności świadectwa wzorcowania: 2 marca 2023 (zgodnie z procedurą wewnętrzną P-03).

Oznaczenie miernika	Producent	Model	Numer fabryczny	Oznaczenie sondy	Producent	Model	Numer fabryczny
M-03Z	Narda Safety Test Solution	Miernik pól elektromagnetycznych NBM-550	G-0622	S-27	Narda Safety Test Solution	Sonda EF0391	D-1520

Sprawozdanie z badań bez pisemnej zgody laboratorium nie może być powielane inaczej niż w całości.
Wynik przedstawione w niniejszym sprawozdaniu odnoszą się wyłącznie do badanego obiektu i do warunków i konfiguracji urządzeń w dniu wykonywania pomiarów.

Mierniki natężenia pola elektromagnetycznego podlegają okresowemu sprawdzeniu zgodnie z procedurą wewnętrzną P-03 i PB-01. Świadectwo wzorcowania zestawu pomiarowego z dnia 20 listopada 2019 o numerze LWiMP/W/308/19 wydane przez Laboratorium Wzorców i Metrologii Pola Elektromagnetycznego (LWiMP) Politechniki Wrocławskiej.
Data ważności świadectwa wzorcowania: 20 listopada 2021 (zgodnie z procedurą wewnętrzną P-03).

Termohigrometr:

Oznaczenie:	TH-14	Producent:	AZ INSTRUMENT CORP	Model:	Termohigrometr AZ8706
-------------	-------	------------	--------------------	--------	-----------------------

Data ważności świadectwa wzorcowania: 30 grudnia 2022 (zgodnie z procedurą wewnętrzną P-03).

Dalmierz:

Oznaczenie	Producent	Typ	Numer seryjny	Nr świadectwa wzorcowania	Data świadectwa wzorcowania
D-01	Leica	Dalmierz Leica Disto X310	843810238	1146.7-M11-4180-396/15	8 kwietnia 2015

Data ważności świadectwa wzorcowania: 8 kwietnia 2025 (zgodnie z procedurą wewnętrzną P-03).

9. Wyniki pomiarów

Pole elektryczne

Nr pionu	Opis umiejscowienia pionu (punktu pomiarowego)	Wysokość pomiaru [m]	Zmierzona wartość natężenia pola elektrycznego E [V/m] ^{1,5}			Wartość natężenia pola elektrycznego po uwzględnieniu poprawek pomiarowych powiększona o niepewność pomiaru ⁴ E [V/m]	Wskaźnikowa wartość poziomu emisji pól elektromagnetycznych WMe ³	Współrzędne geograficzne pionu (punktu pomiarowego) ²
			Sonda S-31	Sonda S-27	SUMA			
1	W wejściu na teren posesji ul. Paderewskiego 59	0,3-2,0	<1,0	<1,0	<1,0	2.1	0.08	50°54'57.96" 15°44'49.919"
2	W wejściu na teren posesji ul. Paderewskiego 60	0,3-2,0	<1,0	<1,0	<1,0	2.1	0.08	50°54'58.679" 15°44'50.279"
3	W wejściu na teren posesji ul. Paderewskiego 61	0,3-2,0	<1,0	<1,0	<1,0	2.1	0.08	50°54'59.399" 15°44'50.279"
4	W wejściu na teren posesji ul. Paderewskiego 62	0,3-2,0	<1,0	<1,0	<1,0	2.1	0.08	50°54'59.76" 15°44'50.64"
5	W oknie budynku przemysłowego Simet	0,3-2,0	<1,0	<1,0	<1,0	2.1	0.08	50°54'58.679" 15°44'53.88"
6	W narożniku budynku przemysłowego Simet	0,3-2,0	<1,0	<1,0	<1,0	2.1	0.08	50°54'58.32" 15°44'55.319"
7	W bramie budynku produkcyjnego Simet	0,3-2,0	<1,0	<1,0	<1,0	2.1	0.08	50°54'58.32" 15°44'56.76"
8	W oknie budynku mieszkalnego ul. Paderewskiego 68a	0,3-2,0	<1,0	<1,0	<1,0	2.1	0.08	50°55'1.2" 15°44'54.599"
9	GKP w odległości 6m od anteny sektorowej az. 0°	0,3-2,0	<1,0	<1,0	<1,0	2.1	0.08	50°54'59.399" 15°44'54.24"
10	GKP w odległości 45m od anteny sektorowej az. 0°	0,3-2,0	<1,0	<1,0	<1,0	2.1	0.08	50°55'0.48" 15°44'54.24"
11	GKP w odległości 67m od anteny sektorowej az. 0°	0,3-2,0	<1,0	<1,0	<1,0	2.1	0.08	50°55'1.2" 15°44'54.24"

Sprawozdanie z badań bez pisemnej zgody laboratorium nie może być powielane inaczej niż w całości.
Wynik przedstawione w niniejszym sprawozdaniu odnoszą się wyłącznie do badanego obiektu i do warunków i konfiguracji urządzeń w dniu wykonywania pomiarów.

12	GKP w odległości 84m od anteny sektorowej az. 0°	0,3-2,0	<1,0	<1,0	<1,0	2.1	0.08	50°55'1.92" 15°44'54.24"
13	GKP w odległości 6m od anteny radioliniowej az. 58°	0,3-2,0	<1,0	<1,0	<1,0	2.1	0.08	50°54'59.04" 15°44'54.599"
14	GKP w odległości 26m od anteny radioliniowej az. 58°	0,3-2,0	<1,0	<1,0	<1,0	2.1	0.08	50°54'59.399" 15°44'55.679"
15	GKP w odległości 35m od anteny radioliniowej az. 60°	0,3-2,0	<1,0	<1,0	<1,0	2.1	0.08	50°54'59.399" 15°44'56.04"
16	GKP w odległości 6m od anteny radioliniowej az. 74°	0,3-2,0	<1,0	<1,0	<1,0	2.1	0.08	50°54'59.04" 15°44'54.599"
17	GKP w odległości 29m od anteny radioliniowej az. 74°	0,3-2,0	<1,0	<1,0	<1,0	2.1	0.08	50°54'59.399" 15°44'55.679"
18	GKP w odległości 49m od anteny radioliniowej az. 74°	0,3-2,0	<1,0	<1,0	<1,0	2.1	0.08	50°54'59.399" 15°44'56.76"
19	GKP w odległości 7m od anteny radioliniowej az. 83°	0,3-2,0	<1,0	<1,0	<1,0	2.1	0.08	50°54'59.04" 15°44'54.599"
20	GKP w odległości 29m od anteny radioliniowej az. 83°	0,3-2,0	<1,0	<1,0	<1,0	2.1	0.08	50°54'59.04" 15°44'56.04"
21	GKP w odległości 58m od anteny radioliniowej az. 83°	0,3-2,0	<1,0	<1,0	<1,0	2.1	0.08	50°54'59.399" 15°44'57.479"
22	GKP w odległości 12m od anteny sektorowej az. 120°	0,3-2,0	<1,0	<1,0	<1,0	2.1	0.08	50°54'58.679" 15°44'54.959"
23	GKP w odległości 32m od anteny sektorowej az. 120°	0,3-2,0	<1,0	<1,0	<1,0	2.1	0.08	50°54'58.32" 15°44'55.679"
24	GKP w odległości 50m od anteny sektorowej az. 120°	0,3-2,0	<1,0	<1,0	<1,0	2.1	0.08	50°54'58.32" 15°44'56.76"
25	GKP w odległości 7m od anteny radioliniowej az. 189°	0,3-2,0	<1,0	<1,0	<1,0	2.1	0.08	50°54'58.679" 15°44'54.24"
26	GKP w odległości 19m od anteny radioliniowej az. 189°	0,3-2,0	<1,0	<1,0	<1,0	2.1	0.08	50°54'58.32" 15°44'54.24"
27	GKP w odległości 53m od anteny radioliniowej az. 189°	0,3-2,0	<1,0	<1,0	<1,0	2.1	0.08	50°54'57.24" 15°44'53.88"
28	GKP w odległości 6m od anteny radioliniowej az. 216°	0,3-2,0	<1,0	<1,0	<1,0	2.1	0.08	50°54'58.679" 15°44'54.24"
29	GKP w odległości 35m od anteny radioliniowej az. 216°	0,3-2,0	<1,0	<1,0	<1,0	2.1	0.08	50°54'57.96" 15°44'53.16"
30	GKP w odległości 6m od anteny sektorowej az. 250°	0,3-2,0	<1,0	<1,0	<1,0	2.1	0.08	50°54'59.04" 15°44'53.88"
31	GKP w odległości 19m od anteny sektorowej az.	0,3-2,0	<1,0	<1,0	<1,0	2.1	0.08	50°54'58.679" 15°44'53.52"

Sprawozdanie z badań bez pisemnej zgody laboratorium nie może być powielane inaczej niż w całości.
Wynik przedstawione w niniejszym sprawozdaniu odnoszą się wyłącznie do badanego obiektu i do warunków i konfiguracji urządzeń w dniu wykonywania pomiarów.

	250°							
32	GKP w odległości 31m od anteny sektorowej az. 250°	0,3-2,0	<1,0	<1,0	<1,0	2.1	0.08	50°54'58.679" 15°44'52.799"
33	PKP w odległości 30m od anteny sektorowej az. 0°	0,3-2,0	<1,0	<1,0	<1,0	2.1	0.08	50°54'59.76" 15°44'53.52"
-	GKP w odległości 231m od anteny sektorowej az. 0°	0,3-2,0	<1,0	<1,0	<1,0	2.1	0.08	50°55'6.6" 15°44'54.24"
-	GKP w odległości 458m od anteny sektorowej az. 0°	0,3-2,0	<1,0	<1,0	<1,0	2.1	0.08	50°55'13.799" 15°44'54.24"
-	GKP w odległości 231m od anteny sektorowej az. 120°	0,3-2,0	<1,0	<1,0	<1,0	2.1	0.08	50°54'55.439" 15°45'4.68"
-	GKP w odległości 457m od anteny sektorowej az. 120°	0,3-2,0	<1,0	<1,0	<1,0	2.1	0.08	50°54'51.479" 15°45'14.759"
-	GKP w odległości 266m od anteny sektorowej az. 250°	0,3-2,0	<1,0	<1,0	<1,0	2.1	0.08	50°54'56.159" 15°44'41.639"
-	GKP w odległości 472m od anteny sektorowej az. 250°	0,3-2,0	<1,0	<1,0	<1,0	2.1	0.08	50°54'53.64" 15°44'31.56"

Pole magnetyczne (wyznaczone na podstawie pomiaru wartości natężenia pola elektrycznego)

Nr pionu	Opis umiejscowienia pionu (punktu pomiarowego)	Wysokość pomiaru [m]	Wartość natężenia pola magnetycznego H [A/m] ¹			Wartość natężenia pola magnetycznego po uwzględnieniu poprawek pomiarowych powiększona o niepewność pomiaru ⁴ H [A/m]	Wskaźnikowa wartość poziomu emisji pól elektromagnetycznych WM _H ³	Współrzędne geograficzne pionu (punktu pomiarowego) ²
			Sonda S-31	Sonda S-27	SUMA			
1	W wejściu na teren posesji ul. Paderewskiego 59	0,3-2,0	<0.003*	<0.003*	<0.003*	0.006	0.08	50°54'57.96" 15°44'49.919"
2	W wejściu na teren posesji ul. Paderewskiego 60	0,3-2,0	<0.003*	<0.003*	<0.003*	0.006	0.08	50°54'58.679" 15°44'50.279"
3	W wejściu na teren posesji ul. Paderewskiego 61	0,3-2,0	<0.003*	<0.003*	<0.003*	0.006	0.08	50°54'59.399" 15°44'50.279"
4	W wejściu na teren posesji ul. Paderewskiego 62	0,3-2,0	<0.003*	<0.003*	<0.003*	0.006	0.08	50°54'59.76" 15°44'50.64"
5	W oknie budynku przemysłowego Simet	0,3-2,0	<0.003*	<0.003*	<0.003*	0.006	0.08	50°54'58.679" 15°44'53.88"
6	W narożniku budynku przemysłowego Simet	0,3-2,0	<0.003*	<0.003*	<0.003*	0.006	0.08	50°54'58.32" 15°44'55.319"
7	W bramie budynku produkcyjnego Simet	0,3-2,0	<0.003*	<0.003*	<0.003*	0.006	0.08	50°54'58.32" 15°44'56.76"

Sprawozdanie z badań bez pisemnej zgody laboratorium nie może być powielane inaczej niż w całości.
Wynik przedstawione w niniejszym sprawozdaniu odnoszą się wyłącznie do badanego obiektu i do warunków i konfiguracji urządzeń w dniu wykonywania pomiarów.

8	W oknie budynku mieszkalnego ul. Paderewskiego 68a	0,3-2,0	<0.003*	<0.003*	<0.003*	0.006	0.08	50°55'1.2" 15°44'54.599"
9	GKP w odległości 6m od anteny sektorowej az. 0°	0,3-2,0	<0.003*	<0.003*	<0.003*	0.006	0.08	50°54'59.399" 15°44'54.24"
10	GKP w odległości 45m od anteny sektorowej az. 0°	0,3-2,0	<0.003*	<0.003*	<0.003*	0.006	0.08	50°55'0.48" 15°44'54.24"
11	GKP w odległości 67m od anteny sektorowej az. 0°	0,3-2,0	<0.003*	<0.003*	<0.003*	0.006	0.08	50°55'1.2" 15°44'54.24"
12	GKP w odległości 84m od anteny sektorowej az. 0°	0,3-2,0	<0.003*	<0.003*	<0.003*	0.006	0.08	50°55'1.92" 15°44'54.24"
13	GKP w odległości 6m od anteny radioliniowej az. 58°	0,3-2,0	<0.003*	<0.003*	<0.003*	0.006	0.08	50°54'59.04" 15°44'54.599"
14	GKP w odległości 26m od anteny radioliniowej az. 58°	0,3-2,0	<0.003*	<0.003*	<0.003*	0.006	0.08	50°54'59.399" 15°44'55.679"
15	GKP w odległości 35m od anteny radioliniowej az. 60°	0,3-2,0	<0.003*	<0.003*	<0.003*	0.006	0.08	50°54'59.399" 15°44'56.04"
16	GKP w odległości 6m od anteny radioliniowej az. 74°	0,3-2,0	<0.003*	<0.003*	<0.003*	0.006	0.08	50°54'59.04" 15°44'54.599"
17	GKP w odległości 29m od anteny radioliniowej az. 74°	0,3-2,0	<0.003*	<0.003*	<0.003*	0.006	0.08	50°54'59.399" 15°44'55.679"
18	GKP w odległości 49m od anteny radioliniowej az. 74°	0,3-2,0	<0.003*	<0.003*	<0.003*	0.006	0.08	50°54'59.399" 15°44'56.76"
19	GKP w odległości 7m od anteny radioliniowej az. 83°	0,3-2,0	<0.003*	<0.003*	<0.003*	0.006	0.08	50°54'59.04" 15°44'54.599"
20	GKP w odległości 29m od anteny radioliniowej az. 83°	0,3-2,0	<0.003*	<0.003*	<0.003*	0.006	0.08	50°54'59.04" 15°44'56.04"
21	GKP w odległości 58m od anteny radioliniowej az. 83°	0,3-2,0	<0.003*	<0.003*	<0.003*	0.006	0.08	50°54'59.399" 15°44'57.479"
22	GKP w odległości 12m od anteny sektorowej az. 120°	0,3-2,0	<0.003*	<0.003*	<0.003*	0.006	0.08	50°54'58.679" 15°44'54.959"
23	GKP w odległości 32m od anteny	0,3-2,0	<0.003*	<0.003*	<0.003*	0.006	0.08	50°54'58.32" 15°44'55.679"

Sprawozdanie z badań bez pisemnej zgody laboratorium nie może być powielane inaczej niż w całości.
Wynik przedstawione w niniejszym sprawozdaniu odnoszą się wyłącznie do badanego obiektu i do warunków i konfiguracji urządzeń w dniu wykonywania pomiarów.

	sektorowej az. 120°							
24	GKP w odległości 50m od anteny sektorowej az. 120°	0,3-2,0	<0.003*	<0.003*	<0.003*	0.006	0.08	50°54'58.32" 15°44'56.76"
25	GKP w odległości 7m od anteny radioliniowej az. 189°	0,3-2,0	<0.003*	<0.003*	<0.003*	0.006	0.08	50°54'58.679" 15°44'54.24"
26	GKP w odległości 19m od anteny radioliniowej az. 189°	0,3-2,0	<0.003*	<0.003*	<0.003*	0.006	0.08	50°54'58.32" 15°44'54.24"
27	GKP w odległości 53m od anteny radioliniowej az. 189°	0,3-2,0	<0.003*	<0.003*	<0.003*	0.006	0.08	50°54'57.24" 15°44'53.88"
28	GKP w odległości 6m od anteny radioliniowej az. 216°	0,3-2,0	<0.003*	<0.003*	<0.003*	0.006	0.08	50°54'58.679" 15°44'54.24"
29	GKP w odległości 35m od anteny radioliniowej az. 216°	0,3-2,0	<0.003*	<0.003*	<0.003*	0.006	0.08	50°54'57.96" 15°44'53.16"
30	GKP w odległości 6m od anteny sektorowej az. 250°	0,3-2,0	<0.003*	<0.003*	<0.003*	0.006	0.08	50°54'59.04" 15°44'53.88"
31	GKP w odległości 19m od anteny sektorowej az. 250°	0,3-2,0	<0.003*	<0.003*	<0.003*	0.006	0.08	50°54'58.679" 15°44'53.52"
32	GKP w odległości 31m od anteny sektorowej az. 250°	0,3-2,0	<0.003*	<0.003*	<0.003*	0.006	0.08	50°54'58.679" 15°44'52.799"
33	PKP w odległości 30m od anteny sektorowej az. 0°	0,3-2,0	<0.003*	<0.003*	<0.003*	0.006	0.08	50°54'59.76" 15°44'53.52"
-	GKP w odległości 231m od anteny sektorowej az. 0°	0,3-2,0	<0.003*	<0.003*	<0.003*	0.006	0.08	50°55'6.6" 15°44'54.24"
-	GKP w odległości 458m od anteny sektorowej az. 0°	0,3-2,0	<0.003*	<0.003*	<0.003*	0.006	0.08	50°55'13.799" 15°44'54.24"
-	GKP w odległości 231m od anteny sektorowej az. 120°	0,3-2,0	<0.003*	<0.003*	<0.003*	0.006	0.08	50°54'55.439" 15°45'4.68"
-	GKP w odległości 457m od anteny sektorowej az. 120°	0,3-2,0	<0.003*	<0.003*	<0.003*	0.006	0.08	50°54'51.479" 15°45'14.759"
-	GKP w odległości 266m od	0,3-2,0	<0.003*	<0.003*	<0.003*	0.006	0.08	50°54'56.159" 15°44'41.639"

Sprawozdanie z badań bez pisemnej zgody laboratorium nie może być powielane inaczej niż w całości.
Wynik przedstawione w niniejszym sprawozdaniu odnoszą się wyłącznie do badanego obiektu i do warunków i konfiguracji urządzeń w dniu wykonywania pomiarów.

	anteny sektorowej az. 250°							
-	GKP w odległości 472m od anteny sektorowej az. 250°	0,3-2,0	<0.003*	<0.003*	<0.003*	0.006	0.08	50°54'53.64" 15°44'31.56"

GKP – Główny Kierunek Pomiarowy

¹ wyniki oznaczone * są wynikami poniżej czułości zestawu pomiarowego

² współrzędne geograficzne pozyskane metodą obliczeniową w oparciu o pomiar punktu referencyjnego

³ do wyznaczenia wartości wskaźnikowej W_{ME} i W_{MH} przyjęto na podstawie uzgodnień z klientem oraz rozpoznania źródeł, jako wartości dopuszczalne pola elektrycznego i magnetycznego odpowiednio 28 V/m i 0,073 A/m.

⁴ do wyznaczenia niepewności dla wyników poniżej czułości zestawu pomiarowego, przyjęto niepewność dla minimalnej wartości z zakresu pomiarowego.

⁵ maksymalna wartość chwilowa

Niepewność oszacowano zgodnie z dokumentem P-03 „Procedura nadzoru nad wyposażeniem” w postaci niepewności rozszerzonej wynikającej z niepewności standardowej pomnożonej przez współczynnik rozszerzenia $k=2$.

Całkowita szacowana niepewność rozszerzona składowej E wynosi odpowiednio:

sonda S-31: 28.8% dla częstotliwości do 3 GHz, sonda S-27: 26.1% dla częstotliwości do 3 GHz

Dla przedmiotowych pomiarów zleceniodawca określił poprawkę pomiarową = 1.65.

Umiejscowienie pionów (punktów) pomiarowych przedstawiono w nr 2 do niniejszego sprawozdania.

10. Omówienie wyników pomiarów

Wyniki pomiarów uzyskane zostały przy uwzględnieniu poprawek pomiarowych przekazanych przez zleceniodawcę, umożliwiających uwzględnienie maksymalnych parametrów pracy instalacji zleceniodawcy oraz innych operatorów występujących w obszarze pomiarowym.

W wyniku zastosowania sposobu sprawdzenia dotrzymania dopuszczalnych poziomów pól elektromagnetycznych w środowisku, zgodnie pkt 25 ppkt 1 Rozporządzenia Ministra Klimatu z dnia 17 lutego 2020 r. (Dz. U. 2020, poz. 258), w związku z tym, że żadna z wartości wskaźnikowych, udokumentowanych w tabelach w pkt. 9 nie przekracza wartości 1, stwierdza się, że w miejscach, w których wykonano pomiary w otoczeniu instalacji radiokomunikacyjnej 49200 (69200N!) PJE_JELENIAGO_PADEREWSKIEGO, dopuszczalne poziomy pól elektromagnetycznych w środowisku należy uznać za dotrzymane.

11. Podstawa prawna

- 1) Ustawa z dnia 27 kwietnia 2001 r. Prawo ochrony środowiska (t. j. Dz. U. z 2020 r., poz. 1219 z późn.zm.)
- 2) Rozporządzenie Ministra Zdrowia z dnia 17 grudnia 2019 r. w sprawie dopuszczalnych poziomów pól elektromagnetycznych w środowisku (Dz. U. 2019, poz. 2448)
- 3) Rozporządzenie Ministra Klimatu z dnia 17 lutego 2020 r. w sprawie sposobów sprawdzania dotrzymania dopuszczalnych poziomów pól elektromagnetycznych w środowisku (Dz. U. 2020, poz. 258),
- 4) Akredytacja nr AB 419 wydana przez Polskie Centrum Akredytacji (wydanie 17, z dnia 13 stycznia 2021r.).

12. Spis załączników

Załącznik 1. Lokalizacja obiektu badań

Załącznik 2. Usytuowanie pionów (punktów) pomiarowych

Załącznik 3. Dokumentacja fotograficzna obiektu badań

13. Data wydania i autoryzowania sprawozdania

Obliczenia i sprawozdanie wykonał :

Sprawozdanie autoryzował:

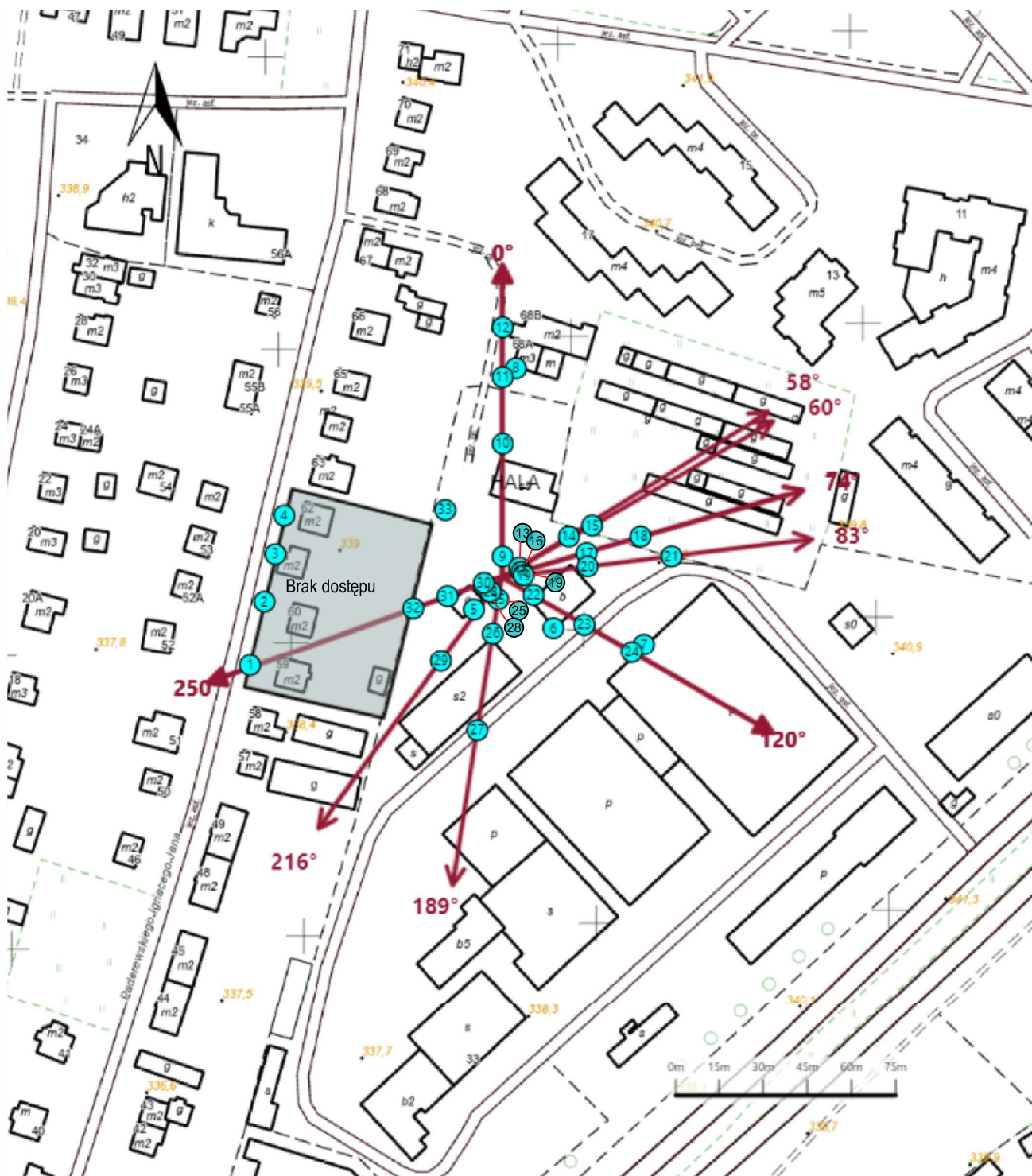
Koniec sprawozdania

Sprawozdanie z badań bez pisemnej zgody laboratorium nie może być powielane inaczej niż w całości.
Wynik przedstawione w niniejszym sprawozdaniu odnoszą się wyłącznie do badanego obiektu i do warunków i konfiguracji urządzeń w dniu wykonywania pomiarów.



Załącznik nr 1	Instalacja radiokomunikacyjna T-Mobile Polska S.A. 49200 (69200N!) PJE_JELENIAGO_PADEREWSKIEGO Lokalizacja stacji
----------------	--

Sprawozdanie z badań bez pisemnej zgody laboratorium nie może być powielane inaczej niż w całości.
Wynik przedstawione w niniejszym sprawozdaniu odnoszą się wyłącznie do badanego obiektu i do warunków i konfiguracji urządzeń w dniu wykonywania pomiarów.



Załącznik nr 2	Instalacja radiokomunikacyjna T-Mobile Polska S.A. 49200 (69200N!) PJE_JELENIAGO_PADEREWSKIEGO Usytuowanie pionów pomiarowych w otoczeniu instalacji radiokomunikacyjnej
Legenda:	<p> Pion pomiarowy Kierunek oddziaływania anten sektorowych Kierunek oddziaływania anten radioliniowych </p>

Sprawozdanie z badań bez pisemnej zgody laboratorium nie może być powielane inaczej niż w całości.
 Wynik przedstawione w niniejszym sprawozdaniu odnoszą się wyłącznie do badanego obiektu i do warunków i konfiguracji urządzeń w dniu wykonywania pomiarów.



Załącznik nr 3

Instalacja radiokomunikacyjna T-Mobile Polska S.A. 49200 (69200N!) PJE_JELENIAGO_PADEREWSKIEGO

Dokumentacja fotograficzna

Sprawozdanie z badań bez pisemnej zgody laboratorium nie może być powielane inaczej niż w całości.
Wynik przedstawione w niniejszym sprawozdaniu odnoszą się wyłącznie do badanego obiektu i do warunków i konfiguracji urządzeń w dniu wykonywania pomiarów.